

**TUGAS AKHIR**

**PERILAKU LENTUR PERKUATAN BALOK BETON  
BERTULANG DENGAN GROUTING DAN GFRP SHEET**

***FLEXURAL BEHAVIOR OF STRENGTHENED REINFORCED  
CONCRETE BEAMS WITH GROUTING AND GFRP SHEET***

**YUQNI MAULIDYA  
D011 18 1014**



**PROGRAM SARJANA DEPARTEMEN TEKNIK SIPIL**

**FAKULTAS TEKNIK**

**UNIVERSITAS HASANUDDIN**

**2022**

**LEMBAR PENGESAHAN (TUGAS AKHIR)**

**PERILAKU LENTUR PERKUATAN BALOK BETON BERTULANG DENGAN  
GROUTING DAN GFRP SHEET**

**Disusun dan diajukan oleh:**

**YUQNI MAULIDYA**

**D011 18 1014**

Telah dipertahankan di hadapan Panitia Ujian yang dibentuk dalam rangka Penyelesaian Studi Program Sarjana Program Studi Teknik Sipil Fakultas Teknik Universitas Hasanuddin pada tanggal 18 Agustus 2022 dan dinyatakan telah memenuhi syarat kelulusan

menyetujui,

Pembimbing I,

Pembimbing II,

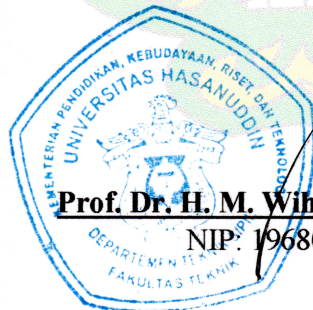


**Prof. Dr. Eng. Rudy Djamaluddin, ST, M.Eng**  
NIP: 197011081994121001



**Dr. Eng. Hj. Rita Irmawaty, ST, MT**  
NIP: 197206192000122001

Ketua Program Studi,



**Prof. Dr. H. M. Wihardi Tjaronge, ST, M.Eng**  
NIP: 196805292002121002

## PERNYATAAN KEASLIAN KARYA ILMIAH

Yang bertanda tangan di bawah ini, nama Yuqni Maulidya dengan ini menyatakan bahwa skripsi yang berjudul **“Perilaku Lentur Perkuatan Balok Beton Bertulang Dengan Grouting Dan GFRP Sheer”**, adalah karya ilmiah penulis sendiri, dan belum pernah digunakan untuk mendapatkan gelar apapun dan dimanapun.

Karya ilmiah ini sepenuhnya milik penulis dan semua informasi yang ditulis dalam skripsi yang berasal dari penulis lain telah diberi penghargaan, yakni dengan mengutip sumber dan tahun penerbitannya. Oleh karena itu semua tulisan dalam skripsi ini sepenuhnya menjadi tanggung jawab penulis. Apabila ada pihak manapun yang merasa ada kesamaan judul dan atau hasil temuan dalam skripsi ini, maka penulis siap untuk diklarifikasi dan mempertanggungjawabkan segala resiko.

Gowa, 20 Agustus 2022

Yang membuat pernyataan,



Yuqni Maulidya

NIM: D011 18 1014

## KATA PENGANTAR

Segala Puji dan Syukur Allah SWT Tuhan Yang Maha Esa, atas segala kebaikan dan karunia-Nya kepada setiap insan intelektual, sehingga penulis dapat menyelesaikan Tugas Akhir ini. Tak lupa sholawat serta salam kepada baginda Rasulullah Muhammad SAW sebaik-baiknya suri tauladan. Penyusunan tugas akhir yang berjudul **“PERILAKU LENTUR PERKUATAN BALOK BETON BERTULANG DENGAN GROUTING DAN GFRP SHEET”** merupakan salah satu syarat yang diajukan untuk menyelesaikan studi pada Departemen Teknik Sipil Fakultas Teknik Universitas Hasanuddin.

Penulis menyadari sepenuhnya bahwa terselesaikannya Tugas Akhir ini tidak hanya dari penulis sendiri melainkan berkat ilmu, arahan, bimbingan serta bantuan dari berbagai pihak. Oleh karena itu, dengan segala ketulusan, penulis ingin menyampaikan terima kasih kepada :

1. **Bapak Prof. Dr. Eng. Ir. Muhammad Isran Ramli, S.T., M.T.**, selaku Dekan Fakultas Teknik Universitas Hasanuddin
2. **Bapak Prof. Dr. Ir H. M. Wihardi Tjaronge S.T., M.Eng.**, selaku Ketua Departemen Teknik Sipil Fakultas Teknik Universitas Hasanuddin sekaligus dosen penguji I
3. **Bapak Prof. Dr. Eng. Ir. Rudy Djamaluddin ST. M.Eng.**, selaku dosen pembimbing I, **Ibu Dr. Eng. Hj. Rita Irmawaty, S.T., M.T.**, selaku dosen pembimbing II, dan **Bapak Dr. Eng. Fakhruddin, S.T., M.Eng.**, selaku dosen pembimbing Laboratorium Riset Rekayasa dan Perkuatan Struktur yang telah meluangkan waktunya untuk memberikan bimbingan dan pengarahan serta kesabarannya dalam menghadapi kualitas keilmuan penulis dari awal penelitian hingga selesainya tugas akhir ini. Semoga kebaikan, kesehatan serta kemudahan senantiasa dilimpahkan kepada beliau.
4. **Bapak Dr. Eng. Ir. Andi Arwin Amiruddin, S.T., M.T.**, selaku Kepala Laboratorium Struktur dan Bahan Departemen Teknik Sipil Fakultas

Teknik Universitas Hasanuddin yang telah memberikan izin atas segala fasilitas yang digunakan.

5. Seluruh dosen Departemen Teknik Sipil Fakultas Teknik Universitas Hasanuddin.
6. Seluruh staf dan karyawan Departemen Teknik Sipil, staf dan karyawan Fakultas Teknik serta staf Laboratorium dan asisten Departemen Teknik Sipil Fakultas Teknik Universitas Hasanuddin.

Yang istimewa penulis persembahkan kepada:

1. Kedua orang tua yang tercinta, yaitu ayahanda **Alm. Muh. Jufri**, dan ibunda **Suryana**, serta saudara tercinta **Nindya Dwi Putri** atas semua kasih sayang yang begitu tulus dan doa yang tiada henti serta nasehat-nasehat yang selalu melekat pada penulis disetiap waktu.
2. **Satria Umar Dani** selaku partner suka dan duka yang selama ini menemani dan banyak memberikan dorongan, bantuan, serta doa sehingga penulis dapat menyelesaikan tugas akhir ini.
3. **Fitri, Imran, dan Farhan** selaku teman seperjuangan dalam penelitian ini, yang selalu membantu dan menjadi teman berdiskusi dalam penyelesaian tugas akhir ini.
4. **Ica, Nadia, Wana, Upe, Ipa, Fitri, Asihana, Melani, Fikri, Radix, Charlie**, sebagai teman pertama penulis di dunia perkuliahan. Terima kasih untuk semua pengalaman baru paling menyenangkan yang diberikan selama penulis berkuliah di Teknik sipil.
5. Rekan-rekan di **Laboratorium Riset Perkuatan Struktur**, terkhusus **Kinah dan Innah** . Terima kasih karena telah menjadi teman berdiskusi yang baik dan telah menghidupkan suasana mukim perkuatan serta membuat penulisan tugas akhir ini menjadi sangat menyenangkan.
6. Untuk sahabat–sahabat yang terkasih **Elsya, Fifa, Aulia, Nunu, Elli, Mimi** yang selalu ada dan menghibur penulis selama ini.

7. Saudara-saudari **TRANSISI 2019**, teman-teman Departemen Teknik Sipil dan Teknik Lingkungan Fakultas Teknik Universitas Hasanuddin **Angkatan 2018** yang memberikan begitu banyak warna dan pengalaman yang sangat berharga dari awal hingga akhir nanti.

Penulis menyadari bahwa setiap karya buatan manusia tidak akan pernah luput dari kekurangan, oleh karena itu kritik dan saran dari pembaca sangat penulis harapkan demi kesempurnaan Tugas Akhir ini.

Akhirnya semoga Allah SWT Tuhan Yang Maha Esa melimpahkan kebaikan dan karunia-Nya kepada kita dan semoga tugas akhir ini dapat memberikan manfaat, khususnya dalam bidang Teknik Sipil.

Gowa, Juli 2022

Penulis

## ABSTRAK

Penurunan kekuatan struktur yang terjadi pada suatu konstruksi beton selain karena umur layannya, juga diakibatkan oleh korosi pada tulangan. Korosi menyebabkan beton mengalami pengelupasan (*spalling*) dan pengurangan luasan tulangan. Untuk mengatasi berbagai kerusakan yang terjadi maka diperlukan metode perbaikan dan perkuatan yang tepat. Grouting merupakan metode perbaikan kerusakan struktur yang sering kali digunakan saat ini karena memenuhi persyaratan standar corps of engineering *CDR C-621* dan *ASTM C-1107*. Grouting adalah proses memberikan campuran air dan sika grout 215 karena memiliki karakteristik tidak menyusut, tidak korosif, dan dapat mengalir dengan baik sehingga dapat dengan mudah mengisi bagian-bagian kecil pada beton. *Glass Fiber Reinforced Polymer (GFRP)* sebagai material yang mempunyai kuat tarik yang tinggi, superior dalam daktilitas, bobotnya yang ringan sehingga mudah dalam mobilisasi, menjadikan GFRP sebagai pilihan untuk perbaikan struktur. Penelitian ini bertujuan untuk menganalisis perilaku lentur serta pola retak dan mode kegagalan balok beton bertulang yang diperkuat dengan grouting dan *GFRP Sheet*.

Tahapan penelitian terbagi atas dua yaitu pengujian kuat tekan mortar grouting dan pengujian lentur balok beton bertulang. Pengujian kuat tekan mortar grouting menggunakan sampel silinder 50 mm x 100 mm, diuji pada umur 28 hari. Sementara itu, pengujian lentur balok menggunakan sampel balok dengan dimensi 150 mm x 200 mm x 3300 mm sebanyak tiga buah yang terdiri dari balok kontrol, balok dengan perbaikan grouting, serta balok dengan perkuatan mortar grouting dan *GFRP Sheet*.

Hasil penelitian menunjukkan penggunaan mortar grouting dan *GFRP sheet* sebagai material perbaikan dan perkuatan mampu meningkatkan beban maksimum balok beton bertulang. Sementara itu, balok BGR memiliki perilaku yang lebih daktil dibandingkan semua benda uji. Dari mode kegagalan sambungan, balok dengan perkuatan mortar grouting mengalami kegagalan *debonding* sedangkan balok dengan perkuatan grouting dan *GFRP sheet* mengalami kegagalan delaminasi dan kegagalan *debonding* pada lekatan GFRP.

**Kata kunci:** korosi, *spalling*, sika grout, GFRP

## DAFTAR ISI

LEMBAR PENGESAHAN .....	ii
PERNYATAAN KEASLIAN KARYA ILMIAH .....	iii
KATA PENGANTAR .....	iv
ABSTRAK .....	vii
DAFTAR ISI .....	viii
DAFTAR GAMBAR .....	x
DAFTAR TABEL .....	xiii
BAB 1. PENDAHULUAN.....	1
A. Latar Belakang .....	1
B. Rumusan Masalah .....	3
C. Tujuan Penelitian.....	3
D. Manfaat Penelitian.....	4
E. Batasan Masalah.....	4
F. Sistematika Penulisan .....	5
BAB 2. TINJAUAN PUSTAKA.....	7
A. Penelitian Terdahulu .....	7
B. Beton Bertulang.....	10
C. Kapasitas Lentur Balok Beton Bertulang.....	13
D. Kegagalan Balok Beton Bertulang.....	18
E. Pola Retak Pada Beton Bertulang.....	20
F. Lendutan .....	22
G. Metode Perbaikan dan Perkuatan .....	24
H. Mortar Grouting .....	27
I. Fiber Reinforced Polymer (FRP) .....	28
J. Kapasitas Lentur Balok Beton Bertulang dengan Perkuatan FRP.....	33
K. Mode Kegagalan pada Balok dengan Perkuatan GFRP .....	37
BAB 3. METODE PENELITIAN.....	39
A. Bagan Alir Penelitian .....	39

B. Lokasi dan Waktu Penelitian .....	40
C. Alat dan Bahan.....	41
D. Jenis Penelitian .....	48
BAB 4. HASIL DAN PEMBAHASAN .....	59
A. Karakteristik Mekanis Tulangan .....	59
B. Pengujian Sifat Mekanis Beton.....	60
C. Kuat Tekan Mortar Grouting .....	63
D. Pengujian Lentur Balok .....	64
D.1. Hubungan Beban-Lendutan.....	66
D.2. Beban Maksimum .....	71
D.3. Hubungan Beban-Regangan Beton.....	73
D.4. Hubungan Beban-Regangan Baja .....	74
D.5. Hubungan Beban-Regangan GFRP .....	75
E. Pola Retak dan Mode Kegagalan.....	76
E.1. Pola Retak dan Mode Kegagalan Balok BK.....	76
E.2. Pola Retak dan Mode Kegagalan Balok BGR.....	78
E.3. Pola Retak dan Mode Kegagalan Balok BGRF-S .....	80
BAB 5. KESIMPULAN DAN SARAN .....	84
A. Kesimpulan.....	84
B. Saran.....	84
DAFTAR PUSTAKA .....	86

## DAFTAR GAMBAR

<b>Gambar 1.</b> Perilaku Lentur Pada Beban Sebelum Retak .....	14
<b>Gambar 2.</b> Perilaku Lentur Beton Setelah Retak.....	15
<b>Gambar 3.</b> Perilaku Lentur Pada Beban Ultimit.....	16
<b>Gambar 4.</b> Blok Tegangan Ekuivalen.....	17
<b>Gambar 5.</b> Pola Retak Lentur.....	21
<b>Gambar 6.</b> Pola Retak Geser .....	21
<b>Gambar 7.</b> Pola Retak Geser Lentur .....	22
<b>Gambar 8.</b> Hubungan Antara Beban Dan Lendutan (Nawy, 2003) .....	24
<b>Gambar 9.</b> Konsep Perbaikan Dan Perkuatan Struktur .....	26
<b>Gambar 10.</b> GFRP-S Tyfo SEH-51A Dan <i>Epoxy Resin</i> Tyfo S .....	32
<b>Gambar 11.</b> Regangan Untuk Metode ACI 440-2R-08.....	35
<b>Gambar 12.</b> Putusnya FRP Dan Hancurnya Beton Pada Sisi Tekan .....	37
<b>Gambar 13.</b> Bagan Alir.....	40
<b>Gambar 14.</b> Pengujian Tarik Tulangan.....	41
<b>Gambar 15.</b> <i>Universal Testing Machine</i> .....	42
<b>Gambar 16.</b> <i>Mixer</i> .....	43
<b>Gambar 17.</b> Silinder 50 mm x 100 mm.....	43
<b>Gambar 18.</b> (a) FLA-2-11 ( <i>gauge factor</i> 2,12±1%), (b) <i>strain gauge</i> baja, (c) <i>CN Adhesive</i> .....	44
<b>Gambar 19.</b> (a) PL-60 11 ( <i>gauge factor</i> 2,09±1%), (b) <i>strain gauge</i> beton, (c) <i>CN Adhesive</i> .....	44
<b>Gambar 20.</b> (a) PL-60 11 ( <i>gauge factor</i> 2,09±1%), (b) <i>strain gauge</i> beton, (c) <i>CN Adhesive</i> .....	45
<b>Gambar 21.</b> LVDT ( <i>Linear Variable Displacement Transducer</i> ).....	45
<b>Gambar 22.</b> Alat Uji Statik Kapasitas 1500 kN .....	46
<b>Gambar 23.</b> (a) <i>Load Cell</i> 200 kN (b) <i>Data Logger</i> TDS 530.....	46
<b>Gambar 24.</b> Mortar Grouting .....	47
<b>Gambar 25.</b> <i>Sika Bond</i> .....	47
<b>Gambar 26.</b> Serat GFRP .....	48
<b>Gambar 27.</b> Detail Benda Uji Tipe 1 (Balok Normal) .....	51

<b>Gambar 28.</b> Detail Benda Uji Tipe 2 (Balok Bertulang Perbaikan Grouting).....	51
<b>Gambar 29.</b> Detail Benda Uji tipe 3 (Beton Bertulang Mortar Grouting Dengan Perkuatan GFRP <i>Sheet</i> ).....	52
<b>Gambar 30.</b> Pabrikasi Benda Uji Beton Normal .....	53
<b>Gambar 31.</b> Perawatan Beton .....	54
<b>Gambar 32.</b> Pencampuran Mortar Grouting .....	54
<b>Gambar 33.</b> Pengecoran Material Perbaikan .....	55
<b>Gambar 34.</b> Tahapan Pemasangan GFRP .....	57
<b>Gambar 35.</b> Penempatan <i>Strain Gauge</i> Beton.....	58
<b>Gambar 36.</b> <i>Set-Up</i> Benda Uji.....	58
<b>Gambar 37.</b> Pengujian Kuat Tarik Tulangan Baja .....	60
<b>Gambar 38.</b> Pengujian Karakteristik Mekanis Beton .....	61
<b>Gambar 39.</b> Uji Kuat Tekan Mortar.....	63
<b>Gambar 40.</b> Hubungan Beban-Lendutan .....	68
<b>Gambar 41.</b> Hubungan Beban-Lendutan Pada Semua Benda Uji .....	71
<b>Gambar 42.</b> Beban Maksimum.....	71
<b>Gambar 43.</b> Potongan Melintang Balok BK Dan BGR.....	72
<b>Gambar 44.</b> Hubungan Beban-Regangan Beton.....	73
<b>Gambar 45.</b> Hubungan Beban-Regangan Baja.....	74
<b>Gambar 46.</b> Hubungan Beban-Regangan GFRP Pada Balok BGRF-S ..	75
<b>Gambar 47.</b> Pola Retak Pada Balok Kontrol (BK) .....	76
<b>Gambar 48.</b> Retak Awal Balok BK.....	77
<b>Gambar 49.</b> Kehancuran Sisi Tekan Pada Balok BK .....	77
<b>Gambar 50.</b> Pola Retak Pada Balok Grouting (BGR).....	78
<b>Gambar 51.</b> Retak Awal Pada Balok BGR .....	78
<b>Gambar 52.</b> <i>Micro-crack</i> Pada Sambungan .....	79
<b>Gambar 53.</b> Pengukuran Lebar Retak Balok BGR .....	79
<b>Gambar 54.</b> <i>Debonding</i> Antara Beton Normal Dan Mortar Grouting .....	80
<b>Gambar 55.</b> Pola Retak Pada Balok Grouting Dan GFRP <i>Sheet</i> (BGRF-S) .....	80

<b>Gambar 56.</b> Retak Awal Pada Balok BGRF-S.....	81
<b>Gambar 57.</b> Pengukuran Lebar Retak Balok BGRF-S .....	81
<b>Gambar 58.</b> <i>Micro-Crack</i> Pada Sambungan.....	82
<b>Gambar 59.</b> Delaminasi Antara Beton Normal Dan Mortar Grouting.....	82
<b>Gambar 60.</b> <i>Debonding</i> Antara Beton Grouting Dan GFRP .....	83

## DAFTAR TABEL

<b>Tabel 1.</b> Spesifikasi GFRP Tyfo SEH-51A.....	31
<b>Tabel 2.</b> Karakteristik Material Resin Epoksi .....	33
<b>Tabel 3.</b> Variasi Benda Uji 150 X 200 X 3300 Mm.....	50
<b>Tabel 4.</b> Hasil Pengujian Kuat Tarik Baja .....	59
<b>Tabel 5.</b> Hasil Pengujian Kuat Tekan Beton .....	62
<b>Tabel 6.</b> Hasil Pengujian Kuat Tarik Belah Beton .....	62
<b>Tabel 7.</b> Hasil Pengujian Kuat Lentur Beton .....	62
<b>Tabel 8.</b> Hasil Pengujian Kuat Tekan Grouting.....	64
<b>Tabel 9.</b> Kapasitas Beban dan Momen Berdasarkan Analisa Teoritis dan Hasil Pengujian Balok .....	65
<b>Tabel 10.</b> Rekapitulasi Nilai Beban – Lendutan .....	70

## **BAB 1. PENDAHULUAN**

### **A. Latar Belakang**

Indonesia merupakan negara yang beriklim tropis, yang setiap harinya menyebabkan perubahan temperatur dan kelembaban yang cukup besar sehingga meningkatkan potensi korosi pada bahan bangunan baik gedung maupun jembatan. Sebagai contoh runtuhnya Jembatan Tamanroya yang berada di Kepulauan Selayar dan gedung di Jalan Bridgen Katamso, Jakarta barat yang menurut ahli forensik mengalami kerusakan struktur akibat korosi pada tulangan.

Korosi menyebabkan beton mengalami pengelupasan (*spalling*). *spalling* yang terjadi diakibatkan oleh volume tulangan yang mengembang menekan beton sehingga menyebabkan retak muncul semakin banyak dipermukaan. Korosi juga menyebabkan terjadinya pengurangan luasan tulangan yang mengakibatkan penurunan kapasitas elemen struktur. Sehingga dibutuhkan tulangan eksternal untuk mengganti tulangan yang mengalami kerusakan. Untuk mengatasi berbagai kerusakan yang terjadi maka diperlukan metode perbaikan dan perkuatan yang tepat. Secara umum perbaikan dilakukan untuk mengembalikan fungsi kinerja struktur seperti semula, sementara perkuatan dilakukan sebagai upaya untuk pencegahan sebelum struktur mengalami kegagalan. Perbaikan struktur diperlukan apabila kerusakan yang terjadi menyebabkan degradasi kekuatan struktur.

Grouting merupakan metode perbaikan kerusakan struktur yang sering kali digunakan karena sifatnya yang mirip dengan beton. Pemilihan material menjadi salah satu persyaratan untuk mendapatkan perbaikan yang tahan lama. Grouting adalah proses memberikan campuran air dan sika grout. Semen grout memiliki karakteristik yang encer sehingga dapat dengan mudah mengisi bagian-bagian kecil. Semen grouting merupakan beton mutu tinggi yang tidak bersifat korosif dan tidak susut. Akan tetapi, disamping dengan kelebihanannya, material ini hanya mampu menutupi *spalling* yang terjadi pada beton, sehingga dibutuhkan tulangan eksternal sebagai pengganti tulangan tarik dan meningkatkan kekuatan beton.

Untuk mengganti tulangan yang mengalami kerusakan alternatif lain yang dapat dilakukan adalah dengan memotong tulangan yang berkarat kemudian memasang tulangan baru dengan cara di las. Tetapi jika terjadi peningkatan pada fungsi bangunan, maka diperlukan pemasangan tulangan yang lebih praktis. *Glass Fiber Reinforced Polymer* (GFRP) sebagai material yang mempunyai kuat tarik yang tinggi, superior dalam daktilitas, bobotnya yang ringan sehingga mudah dalam mobilisasi, menjadikan GFRP sebagai pilihan untuk perbaikan struktur. Kuat tarik yang sangat tinggi tersebut membuat GFRP sangat cocok digunakan sebagai *eksternal reinforce* yang menerima gaya tarik pada elemen struktur dan meningkatkan kekuatan beton.

Salah satu faktor yang berpengaruh terhadap kinerja GFRP adalah rekatannya terhadap beton. Hal ini dapat tercapai apabila GFRP merekat

pada beton yang memiliki mutu yang baik. Jika GFRP merekat pada matriks yang lemah maka kekuatannya tidak maksimal. Mortar grouting merupakan material yang cocok digunakan karena memiliki mutu yang baik, sehingga GFRP akan bekerja secara maksimal karena telah merekat pada matriks yang kuat.

Berdasarkan latar belakang tersebut di atas, maka penting dilakukan penelitian yang bersifat eksperimental terkait bagaimana perilaku penambahan GFRP *sheet* dalam perkuatan beton bertulang dengan material grouting sebagai bidang melekatnya GFRP ditinjau dari pola retak yang terjadi. Maka disusun penelitian dengan judul yaitu **“PERILAKU LENTUR PERKUATAN BALOK BETON BERTULANG DENGAN GROUTING DAN GFRP SHEET”**.

## **B. Rumusan Masalah**

Berdasarkan uraian pada latar belakang, maka dapat dibuat rumusan masalah sebagai berikut:

1. Bagaimana perilaku lentur perkuatan balok beton bertulang dengan metode grouting dan GFRP *Sheet*
2. Bagaimana pola retak dan mode kegagalan perkuatan balok beton bertulang dengan metode grouting dan GFRP *Sheet*

## **C. Tujuan Penelitian**

1. Menganalisis perilaku lentur perkuatan balok beton bertulang dengan metode grouting dan GFRP *Sheet*.

2. Menganalisis pola retak dan mode kegagalan perkuatan balok beton bertulang dengan metode grouting dan GFRP *Sheet*.

#### **D. Manfaat Penelitian**

Melalui penelitian ini diharapkan memberi sejumlah manfaat sebagai berikut:

1. Memberikan pemahaman informasi mengenai bagaimana perilaku lentur balok beton bertulang dengan perbaikan menggunakan metode grouting dan perkuatan GFRP *Sheet*.
2. Menjadi pertimbangan dan bahan referensi untuk penelitian terkait yang berhubungan dengan perbaikan dan perkuatan struktur pada beton bertulang yang mengalami korosi

#### **E. Batasan Masalah**

Agar penelitian ini lebih terarah dan fokus pada tujuan penelitian yang ingin dicapai maka perlu dibuat batasan masalah sebagai berikut:

1. Penelitian dilakukan terhadap benda uji balok beton bertulang dengan dimensi 150 mm x 200 mm x 3300 mm yang diperkuat dengan material grouting dan *Glass Fiber Reinforced Polymer* (GFRP)
2. Mutu beton yang digunakan dalam penelitian ini adalah  $f'c$  20 MPa
3. Menggunakan tulangan ulir diameter 13 mm dan tulangan polos diameter 8 mm

4. Menggunakan mortar grouting komersial dari pencampuran air dengan Sika Grout 215 (*New*)
5. Menggunakan Mortar Lem Beton Sikabond
6. Menggunakan GFRP dari Fyfo.Co LLC
7. Terdapat 3 benda uji terdiri dari:
  - a) 1 (satu) benda uji balok beton normal sebagai balok kontrol.
  - b) 1 (satu) benda uji balok beton yang diperkuat dengan mortar grouting sepanjang 2700 mm.
  - c) 1 (satu) benda uji balok beton yang diperkuat dengan mortar grouting dan *Glass Fiber Reinforced Polymer (GFRP) Sheet* sepanjang 2700 mm.
8. Benda uji diberi beban lentur dengan beban dua titik secara monotonik menggunakan alat uji statik dengan kapasitas 1500 kN.
9. Pembebanan dilakukan hingga benda uji mengalami keruntuhan.

#### **F. Sistematika Penulisan**

Agar lebih terarah, sistematika penulisan yang akan dilakukan sesuai tahapan-tahapan yang dipersyaratkan sehingga tugas akhir yang dihasilkan lebih sistematis. Sistematika penulisan penelitian ini dapat diurutkan yaitu:

**BAB I PENDAHULUAN**

Pokok-Pokok bahasan dalam bab ini meliputi latar belakang, rumusan masalah, tujuan penelitian, manfaat penelitian, batasan masalah, dan sistematika penulisan.

## **BAB II TINJAUAN PUSTAKA**

Dalam bab ini, diuraikan secara sistematis tentang teori, pemikiran, dan hasil penelitian terdahulu yang memiliki hubungan dengan penelitian ini. Bab ini memberikan kerangka dasar mengenai konsep dan teori yang akan digunakan untuk pemecahan masalah.

## **BAB III METODE PENELITIAN**

Dalam bab ini, dijelaskan metode yang digunakan dalam penelitian ini, langkah-langkah yang digunakan dalam penelitian ini yang dituangkan dalam bentuk bagan alir penelitian, lokasi dan waktu penelitian, data penelitian berupa jenis dan sumber data serta analisis yang digunakan dalam mengolah data yang didapatkan dari lapangan maupun dari laboratorium.

## **BAB IV HASIL DAN PEMBAHASAN**

Dalam bab ini, disusun hasil-hasil pengujian diantaranya adalah hasil pengujian karakteristik mortar geopolimer dan pengujian geser balok.

## **BAB V KESIMPULAN DAN SARAN**

Merupakan bab yang menyimpulkan hasil dari analisis penelitian dan memberikan saran-saran dan rekomendasi penelitian.

## BAB 2. TINJAUAN PUSTAKA

### A. Penelitian Terdahulu

Andi Safirah Annisa Marwiji (2021) melakukan penelitian tentang Analisis Pola Kegagalan Balok Beton Bertulang Yang Diperkuat Dengan Material Grouting Dan Serat PVA. Tujuan Penelitian ini untuk menganalisis pola retak balok beton bertulang yang diperkuat dengan material grouting dan serat PVA. Metode yang digunakan dalam penelitian ini adalah eksperimen yaitu dengan cara melakukan perkuatan pada beton dengan metode grouting dan serat PVA. Adapun kesimpulan yang didapatkan pada penelitian ini adalah:

1. Analisis pola retak yang terjadi pada balok kontrol (CB), balok diperkuat grouting (GR), dan balok diperkuat grouting dan serat PVA (GR-F) menunjukkan bahwa ketiga benda uji mengalami retak lentur yang ditandai dengan munculnya retak pada sisi tarik merambat dan merambat ke sisi tekan balok. Jumlah retak balok GR lebih banyak daripada balok CB dan GR-F. Penambahan serat PVA pada balok GR-F mampu memberikan *bridging effect* yang dapat menghambat lebar dan laju perkembangan retak.
2. Mode kegagalan yang terjadi pada ketiga benda uji merupakan kegagalan *under-reinforced* ditandai dengan lelehnya tulangan sebelum hancurnya beton. Pada Balok GR-F ditemukan adanya kegagalan debonding akibat tidak sempurnanya lekatan pada daerah sambungan beton normal dan mortar grouting

Hariati dan Yayuk Setyaning Astutik (2020) melakukan penelitian tentang Studi Komparatif Kerusakan Beton Pada Struktur Kolom Yang Keropos Dengan Metode Grouting. Tujuan dari penelitian ini adalah untuk mengidentifikasi faktor apa saja yang menjadi penyebab terjadinya kerusakan pada struktur beton yang keropos berdasarkan penelitian sebelumnya serta menganalisis hasil perbandingan nilai kuat tekan beton dengan solusi metode grouting menggunakan sikagrout 215 dan menggunakan campuran semen dan air. Penelitian ini menggunakan sampel beton berbentuk kubus ukuran 15cm x 15 cm x 15cm yang dibagi menjadi tiga jenis sampel yaitu beton normal sebanyak 6 kubus, beton yang sengaja dibuat keropos dengan metode grouting menggunakan sikagrout 215 sebanyak 6 kubus, dan beton yang sengaja dibuat keropos dengan metode grouting menggunakan campuran semen dan air (pasta semen) sebanyak 6 kubus. Setiap kubus akan diuji kuat tekannya pada umur 7, 21 dan 28 hari. Hasil penelitian menunjukkan bahwa penyebab keropos pada beton disebabkan oleh beberapa faktor di antaranya adalah faktor air semen, kurangnya proses pemadatan, rasio agregat yang digunakan, serta workability yang kurang baik. Hasil kuat tekan beton di umur 28 hari menunjukkan bahwa kuat tekan beton normal sebesar 230.459 kg/cm<sup>2</sup>, beton grouting dengan Sikagrout 215 sebesar 318.532 kg/cm<sup>2</sup>, dan beton grouting dengan campuran semen dan air 316.707 kg/cm<sup>2</sup>. Beton grouting dengan menggunakan sikagrout 215 memiliki nilai yang terbesar diantara ketiga sampel tersebut. Sehingga dalam penelitian

ini metode grouting menggunakan pilihan yang tepat untuk melakukan perbaikan beton yang keropos.

Muh. Hushardi Husain (2018) melakukan penelitian tentang Pengaruh Perkuatan Geser GFRP *Sheet* Terhadap Perilaku Pola Kegagalan. Penelitian ini bertujuan untuk mengetahui pengaruh perkuatan geser GFRP *sheet* terhadap kapasitas geser dan pola kegagalan balok beton bertulang. Pada penelitian ini digunakan benda uji berupa balok beton bertulang dengan dimensi 15 cm x 35 cm x 3300 cm, dengan mutu beton yang digunakan 25 MPa. Benda uji dibuat dalam 4 variasi yaitu 1 balok normal dan 3 balok perkuatan. Balok perkuatan pertama diperkuat dengan perkuatan geser GFRP dengan lebar sabuk 75 mm (BGU75). Balok perkuatan kedua diperkuat dengan perkuatan geser GFRP dengan lebar sabuk 100 mm (BGU100). Balok perkuatan ketiga diperkuat dengan perkuatan geser GFRP dengan lebar sabuk 500 mm (BGUF). Ketiga balok perkuatan diperkuat setelah tulangan geser meleleh dengan sabuk GFRP berbentuk *U-Shape* dan pembebanan dengan statik monotonik. Dan hasil penelitian menunjukkan perkuatan geser GFRP *sheet* mampu mengembalikan kekuatan balok sebelum terjadi retak geser dengan persentase BGU75, BGU100, dan BGUF mencapai 89.8 %, 91.1 % dan 94.8%. Sampai pada beban ultimit semua balok perkuatan tidak mengalami debonding ataupun rupture pada GFRP, tetapi terjadi concrete crushing pada sisi tekan balok yang terjadi setelah tulangan tarik meleleh sehingga balok masih dalam kondisi *under reinforced*.

Ray Rusandy (2016) melakukan penelitian pada benda uji balok beton bertulang yang diperkuat dengan *Glass Fiber Reinforced Polymer* pada seluruh daerah geser dengan bentuk sabuk *U-Shape*. Pada penelitian ini didapat beberapa kesimpulan berikut:

1. Perkuatan geser dengan lembaran GFRP memberikan peningkatan kekuatan geser pada balok. Rata-rata peningkatan kekuatan geser balok adalah 6,1 % terhadap balok normal.
2. Perkuatan geser dengan lembaran GFRP mempengaruhi perilaku lentur balok. Balok yang diperkuat menjadi bersifat lebih daktil dibanding balok normal yang terlihat dari balok yang diperkuat mengalami lendutan lebih besar sebelum mengalami kegagalan. Peningkatan daktilitas balok yang diperkuat adalah 152 % terhadap balok normal.
3. Perkuatan dengan lembaran GFRP mampu mencegah penyebaran retak geser akibat pembebanan sebelumnya dan mencegah munculnya retak geser yang baru sehingga pola retak berkembang adalah retak lentur saja, dengan demikian model kegagalan yang terjadi setelah balok diperkuat adalah kegagalan lentur dan tidak lagi terjadi kegagalan geser.

## **B. Beton Bertulang**

Menurut SNI 2847 – 2013 beton merupakan campuran semen portland atau semen hidrolis lainnya, agregat halus, agregat kasar, dan

air, dengan atau tanpa bahan campuran tambahan (*admixture*). Dalam dunia konstruksi gedung, beton digunakan untuk bangunan pondasi, kolom, balok, pelat atau pelat cangkang. Dalam konstruksi jalan, beton digunakan sebagai lapisan perkerasan kaku (*rigid pavement*).

Beton adalah suatu campuran yang terdiri dari pasir, kerikil, batu pecah, atau agregat-agregat lain yang dicampur menjadi satu dengan suatu pasta yang terbuat dari semen dan air membentuk suatu massa mirip-batuan. Seperti substansi-substansi mirip batuan lainnya, beton memiliki kuat tekan yang tinggi dan kuat tarik yang sangat rendah. (Jack C. Mc Comac, 2001).

Beton bertulang ini mempunyai sifat sesuai dengan sifat bahan penyusunnya, yaitu sangat kuat terhadap beban tarik maupun beban tekan, sedangkan beban tekan cukup ditahan oleh beton (Asroni, 2010). Dibawah ini adalah beberapa karakteristik mekanik beton:

#### 1. Kuat Tekan Beton

Kuat tekan merupakan nilai kekuatan tekan maksimum yang dihasilkan dari beban dibagi dengan luas penampang yang menerima beban. Kuat tekan beton tergantung pada tipe campuran, waktu dan kualitas perawatan.

Menurut ChuKia Wang (1993), Kuat tekan ( $f'c$ ) diperoleh berdasarkan hasil uji tekan laboratorium terhadap benda uji baik silinder ataupun kubus pada saat umur beton 28 hari. Mengenai frekuensi pengetestan dianggap memuaskan jika nilai rata-rata pengujian kekuatan

yang berurutan sama atau melebihi  $f'_c$  yang disyaratkan dan tidak ada tes kekuatan individual. Semakin rendah perbandingan air-semen, semakin tinggi kekuatan-tekan. Suatu jumlah tertentu air diperlukam untuk memberikan aksi kimiawi di dalam pengerasan beton, kelebihan air meningkatkan kemampuan pengerjaan (mudahnya beton untuk dicorkan) akan tetapi menurunkan kekuatan. Suatu ukuran dari pengerjaan beton ini diperoleh dengan percobaan *slump*.

Menurut peraturan SNI 03-2847-2002, pasal 7.1.3, kuat tekan beton  $f'_c$  yaitu kuat tekan silinder beton yang disyaratkan pada waktu berumur 28 hari. Pada saat beban ultimit, retak yang searah dengan arah pembebanan menjadi dapat terlihat dengan jelas dan beton akan segera hancur. Diketahui bahwa semakin rendah kekuatan beton, semakin tinggi regangan kegagalan, panjang dari bagian awal yang relatif linear meningkat dengan meningkatnya kekuatan tekan beton dan terjadi penurunan daktilitas yang nyata dengan peningkatan kekuatan.

## 2. Kuat Tarik Beton

Perilaku beton pada saat diberikan beban aksial tarik agak berbeda dengan perilaku beton saat diberikan beban tekan. Hubungan tegangan regangan tarik beton pada umumnya bersifat linear sampai terjadinya retak yang biasanya langsung diikuti oleh keruntuhan beton.

Kekuatan tarik beton lebih sulit diukur dibanding kuat tekannya karena masalah penjepitan (*gripping*) pada mesin. Ada sejumlah metode yang tersedia untuk menguji kekuatan tarik dan yang paling sering

digunakan adalah tes pembelahan silinder. Selain itu juga digunakan *rupture*  $f_r$ , Nawy, Edward G (1998).

### 3. Modulus Elastis Beton

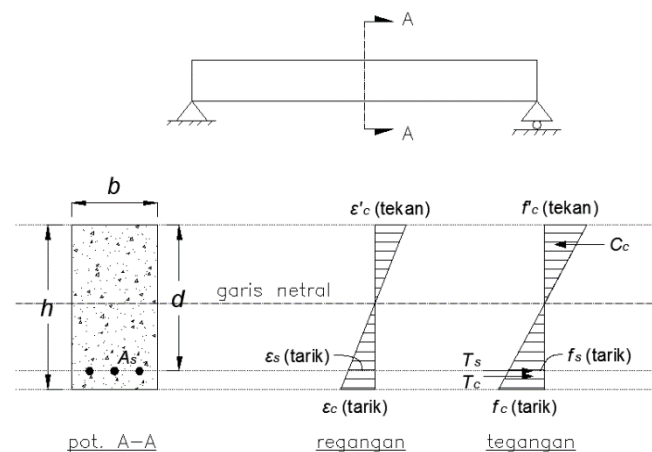
Dari hubungan tegangan – regangan tekan beton terlihat bahwa sudut  $\alpha$  yaitu sudut antara garis lurus kurva yang ditarik dari kondisi tegangan nol sampai tegangan tekan sebesar  $0,45 \cdot f'_c$  dan garis regangan  $\epsilon_c'$ . Modulus elastis beton  $E_c$  merupakan tangens dari sudut  $\alpha$  tersebut.

### C. Kapasitas Lentur Balok Beton Bertulang

Balok beton bertulang merupakan elemen struktur yang dominan menahan gaya lentur pada saat beban diberikan. Pada saat beban ditingkatkan maka nilai regangan dan defleksi balok akan semakin meningkat yang diiringi dengan timbulnya retak-retak lentur sepanjang bentang balok tersebut. Penambahan beban secara terus-menerus akan mengakibatkan kegagalan elemen struktural ketika beban eksternal telah melebihi kapasitas elemen balok tersebut.

Untuk lebih memahami kondisi tegangan dan regangan beton pada saat dibebani maka akan diuraikan secara lebih terperinci mengenai hal tersebut. Nilai tegangan pada daerah tekan beton bersifat linear atau kira-kira sebanding dengan regangannya hanya sampai pada tingkat pembebanan tertentu pada kondisi  $0,45 f'_c$ . Pada tingkat pembebanan ini, apabila beban ditambah terus-menerus maka keadaan sebanding akan

lenyap dan diagram tegangan tekan pada penampang balok beton akan berbentuk seperti kurva tegangan-regangan beton.



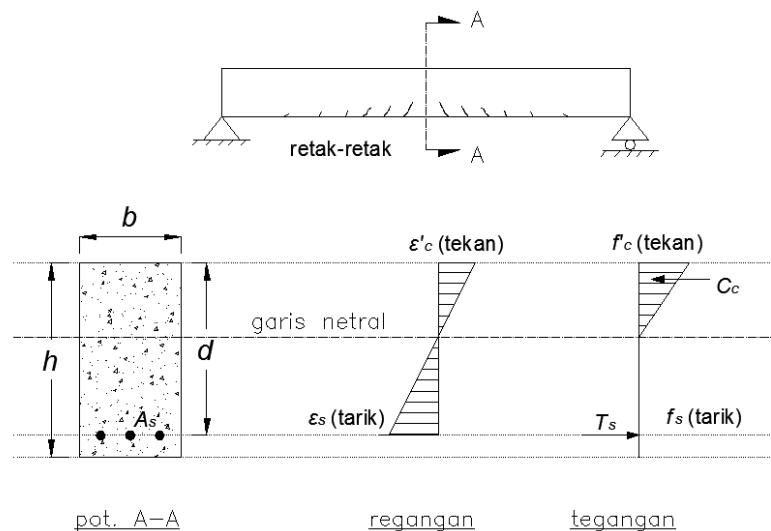
**Gambar 1.** Perilaku Lentur Pada Beban Sebelum Retak

Secara jelasnya dapat diuraikan pada Gambar 1. Pada kondisi pembebanan sebelum terjadinya retak pada beton, beton dan baja tulangan secara bersama-sama bekerja dalam menahan gaya tarik yang bekerja sementara beton pada sisi tekan hanya menahan gaya tekan saja. Distribusi tegangan pada kondisi ini masih bersifat *linear*, bernilai nol pada garis netral dan sebanding dengan nilai regangan yang terjadi. Hal ini hanya dijumpai apabila tegangan maksimum yang timbul pada sisi tarik masih cukup rendah di mana nilainya masih berada di bawah nilai modulus keruntuhan (*rupture modulus*).

Pada kondisi pembebanan setelah retak di mana nilai pembebanan yang diberikan telah melebihi nilai pembebanan sebelum terjadinya retak pada beton, nilai kuat tarik beton telah dilampaui sehingga beton mulai

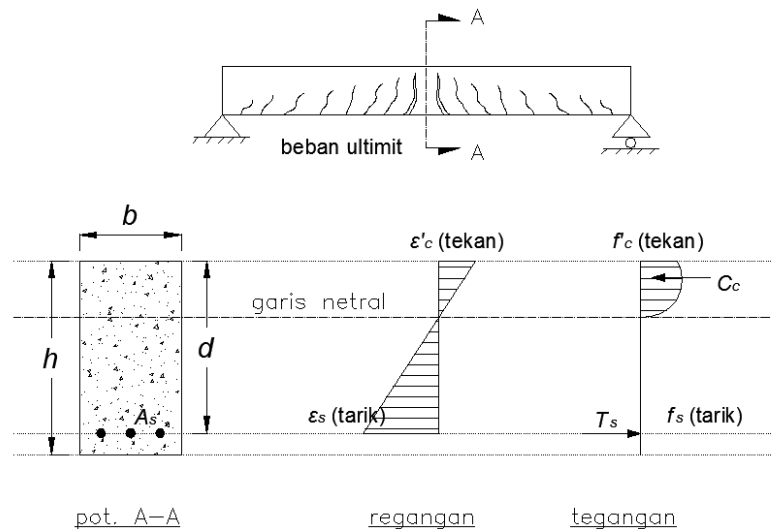
mengalami retak rambut seperti tampak pada Gambar 2. Pada kondisi ini beton tidak dapat meneruskan gaya tarik melintasi daerah retak yang disebabkan karena kondisi lebar retak yang menyebabkan terputusnya aliran distribusi tegangan sepanjang sisi tarik beton.

Akibatnya maka distribusi tegangan tarik pada daerah beton yang retak akan terhenti dan kemudian selanjutnya diambil alih sepenuhnya oleh baja tulangan. Tulangan akan mulai meregang dan apabila nilai beban semakin ditingkatkan maka tulangan akan mencapai kondisi lelehnya. Distribusi tegangan tarik pada tulangan ini terjadi hingga kondisi  $0.5 f_c$ . Pada keadaan ini nilai tegangan beton tekan masih dianggap bernilai sebanding dengan nilai regangannya dimana model tegangan yang terjadi masih berbentuk blok segitiga seperti terlihat pada Gambar 2.



**Gambar 2.** Perilaku Lentur Beton Setelah Retak

Apabila nilai beban diberikan lebih besar lagi maka nilai regangan serta tegangan tekan akan meningkat dan cenderung untuk tidak sebanding lagi antara keduanya, di mana tegangan tekan pada beton akan mulai membentuk kurva *nonlinear*.



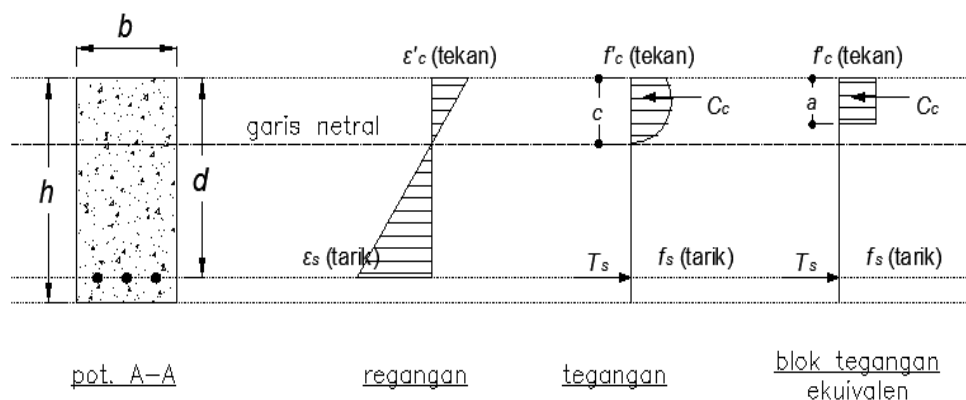
**Gambar 3.** Perilaku Lentur Pada Beban Ultimit

Kurva tegangan di atas garis netral penampang balok atau pada daerah tekan balok akan berbentuk sama dengan kurva tegangan-regangan beton seperti yang terlihat pada Gambar 3 bentuk distribusi tegangan ini berupa garis lengkung dengan nilai nol pada garis netral.

Pada Gambar 3 dapat dilihat model distribusi tegangan dan regangan yang timbul pada kondisi pembebanan mendekati pembebanan ultimit. Bentuk distribusi tegangan aktual yang melengkung ini tentunya menimbulkan kesulitan tersendiri dalam menghitung volume blok tegangan tekan.

Model persegi Whitney yang diusulkan tahun 1937 mengusulkan agar digunakan blok tegangan segiempat ekuivalen yang dapat digunakan untuk menghitung gaya tekan tanpa harus kehilangan ketelitiannya. Blok tegangan ekuivalen ini mempunyai tinggi  $a$  dan tegangan tekan rata-rata sebesar  $0.85 f'_c$ . Nilai ini diperoleh berdasarkan hasil percobaan pada beton yang berumur lebih dari 28 hari.

Dengan menggunakan semua asumsi di atas maka perhitungan volume blok tegangan tekan dapat lebih mudah dilakukan dengan hanya menggunakan rumus volume balok sederhana. Bentuk blok tegangan ekuivalen ini dapat dilihat pada Gambar 4. Apabila kapasitas batas kekuatan beton pada daerah tekan telah terlampaui maka balok akan mengalami kehancuran. Sampai dengan tahap ini tampak bahwa tercapainya kapasitas ultimit merupakan proses yang tidak dapat berulang karena beton telah melewati kondisi elastisnya.



**Gambar 4.** Blok Tegangan Ekuivalen

Komponen struktur balok yang telah retak disertai dengan kondisi baja tulangan yang telah meleleh tentunya ditandai dengan nilai lendutan yang besar. Lendutan besar yang terjadi pada balok tidak akan kembali ke kondisinya yang semula dipengaruhi oleh kondisi baja tulangan yang telah meleleh. Berdasarkan penjelasan-penjelasan yang telah diuraikan sebelumnya maka dalam memperhitungkan kapasitas momen ultimit suatu komponen struktur, kuat tarik beton biasanya diabaikan (tidak diperhitungkan). Seluruh gaya tarik yang terjadi hanya dilimpahkan pada baja tulangan di daerah tarik.

Dengan demikian maka bentuk penampang beton pada daerah tarik tidaklah mempengaruhi kekuatan lentur. Tinggi penampang yang menentukan adalah tinggi efektif  $d$ , yaitu jarak dari serat tekan terluar terhadap titik berat tulangan tarik. Nilai regangan beton tekan maksimum pada serat tekan terluar ditetapkan sebesar 0.003. Penetapan nilai tersebut didasarkan atas hasil-hasil pengujian yang menunjukkan bahwa umumnya regangan beton hancur berada di antara nilai 0.003 dan 0.004.

#### **D. Kegagalan Balok Beton Bertulang**

Kegagalan pada balok beton bertulang pada dasarnya dipengaruhi oleh melelehnya tulangan baja dan hancurnya beton bertulang. Menurut Nawy Edward G. (2008), Ada tiga kemungkinan yang bisa terjadi yang menyebabkan kegagalan balok beton bertulang, yaitu :

a. Kondisi *balanced reinforced*

Tulangan tarik mulai leleh tepat pada saat beton mencapai regangan batasnya dan akan hancur karena tekan.

Kondisi regangan :  $\varepsilon_c = 0,003$  dan  $\varepsilon_s = \frac{f_y}{E_s}$

Pada kondisi ini berlaku :  $\rho = \rho_{balanced}$  dan  $\varepsilon_s = \varepsilon_y$

b. Kondisi *Over-Reinforced*

Kondisi ini terjadi apabila tulangan yang digunakan lebih banyak dari yang diperlukan dalam keadaan *balanced*. Keruntuhan ditandai dengan hancurnya penampang beton terlebih dahulu sebelum tulangan baja meleleh.

Pada kondisi ini berlaku:  $\rho > \rho_{balanced}$  dan  $\varepsilon_s < \varepsilon_y$

c. Kondisi *Under-Reinforced*

Kondisi ini terjadi apabila tulangan tarik yang dipakai pada balok kurang dari yang diperlukan untuk kondisi *balanced*. Keruntuhan ditandai dengan lelehnya tulangan baja terlebih dahulu dari betonnya.

Pada kondisi ini berlaku :  $\rho < 75\% \rho_{balanced}$  dan  $\varepsilon_s > \varepsilon_y$

Balok disebut *under-reinforced* jika balok mempunyai lebih sedikit tulangan dari pada yang diperlukan untuk suatu perbandingan seimbang. Jika sebuah balok berada dalam keadaan *under-reinforced* dan beban ultimit sudah hampir tercapai, baja akan mulai meleleh meskipun tegangan pada beton tekan masih belum mencapai tegangan ultimitnya.

Jika beban terus diperbesar, tulangan akan memanjang sehingga terjadi lendutan dan muncul retak besar pada beton tarik. Kondisi ini menjadi peringatan bahwa beban harus dikurangi atau struktur akan rusak dan runtuh. Hal inilah yang menjadi pertimbangan suatu balok harus didesain tetap dalam kondisi *under-reinforced*. Peningkatan komponen struktur lentur boleh dilakukan dengan menambahkan pasangan tulangan tekan dan tulangan tarik secara bersamaan.

Dalam perencanaan elemen struktur, suatu elemen struktur harus direncanakan berada pada kondisi *under-reinforced*.

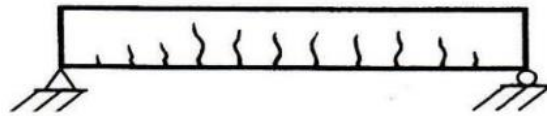
#### **E. Pola Retak Pada Beton Bertulang**

Menurut Amri (2005:252) retakan dapat terjadi oleh berbagai sebab. Pada stadium awal kerusakan komponen struktur diawali dengan lendutan. Bila batas lendutan ijin terlampaui maka stadium kerusakan akan berlanjut pada retakan lentur. Bila kemampuan lentur dilampaui maka kerusakan akan berlanjut pada stadium yang lebih tinggi yaitu berupa retak geser.

Retak terjadi pada umumnya menunjukkan bahwa lebar celah retak sebanding dengan besarnya tegangan yang terjadi pada batang tulangan baja tarik dan beton pada ketebalan tertentu yang menyelimuti batang baja tersebut. Meskipun retak tidak dapat dicegah, namun ukurannya dapat dibatasi dengan cara menyebar atau mendistribusikan tulangan.

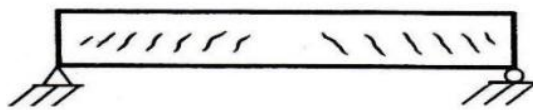
Pada dasarnya ada tiga jenis keretakan pada balok, (Gilbert, 1990) :

1. Retak lentur (*flexural crack*), terjadi di daerah yang mempunyai harga momen lentur lebih besar dan gaya geser kecil. Arah retak terjadi hampir tegak lurus pada sumbu balok. Retak lentur adalah retak vertikal yang memanjang dari sisi tarik balok dan mengarah ke atas sampai daerah sumbu netralnya.



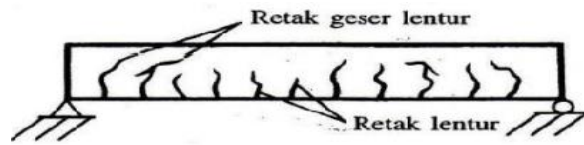
**Gambar 5.** Pola Retak Lentur

2. Retak Geser (*Web Shear Crack*), keretakan miring akibat geser dapat terjadi pada balok sebagai retak bebas maupun sebagai perpanjangan retak lentur. Akan tetapi pada beberapa kasus retak geser akan berkembang secara bebas pada balok meskipun tidak ada retak lentur pada daerah tersebut. Retak miring yang terjadi pada daerah garis netral penampang dimana gaya geser maksimum dan tegangan aksial sangat kecil.



**Gambar 6.** Pola Retak Geser

3. Retak Geser-Lentur (*Flexural Shear Crack*), merupakan perpaduan retak geser dan retak lentur. Retak geser-lentur terjadi pada bagian balok yang sebelumnya telah terjadi keretakan lentur



**Gambar 7.** Pola Retak Geser Lentur

Apabila struktur dibebani dengan suatu beban yang menimbulkan momen lentur masih lebih kecil dari momen retak maka tegangan yang timbul masih lebih kecil dari modulus *of rupture* beton  $f_r = 0,70 \sqrt{f_c}$ . Apabila beban ditambah sehingga tegangan tarik mencapai  $f_r$ , maka retak kecil akan terjadi. Apabila tegangan tarik sudah lebih besar dari  $f_r$ , maka penampang akan retak.

#### **F. Lendutan**

Satu hal yang penting dari struktur beton bertulang adalah masalah lendutan yang terjadi akibat beban yang bekerja. Struktur beton bertulang yang mengalami lentur harus direncanakan agar mempunyai kekakuan yang cukup untuk membatasi lendutan yang mungkin memperlemah kekuatan maupun kemampuan layan struktur pada beban kerja. Berkaitan dengan hal tersebut, bila bentang panjang maka lendutan akan besar. Untuk memperkecil lendutan biasanya dengan memperbesar kekakuan penampang ( $EI$ ).

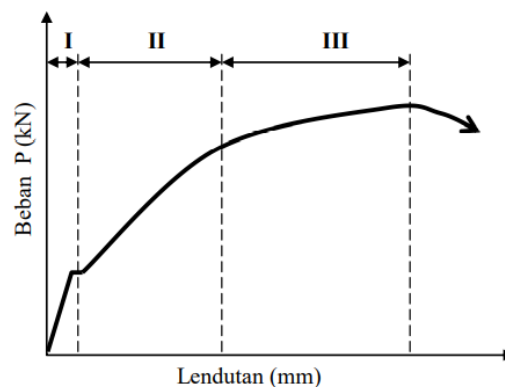
Menurut Nawy (2003), Hubungan beban-defleksi balok beton bertulang pada dasarnya dapat diidealisasikan sebagai berikut :

**Daerah I:** Taraf praretak, dimana batang-batangnya strukturalnya bebas retak. Segmen praretak dari kurva beban - defleksi berupa garis lurus yang memperlihatkan perilaku elastis penuh. Tegangan tarik maksimum pada balok lebih kecil dari kekuatan tariknya akibat lentur atau lebih kecil dari modulus *rupture* ( $f_r$ ) beton.

**Daerah II:** Taraf beban pascaretak, dimana batang-batang struktural mengalami retak-retak terkontrol yang masih dapat diterima, baik distribusinya maupun lebarnya. Balok pada tumpuan sederhana retak akan terjadi semakin lebar pada daerah lapangan, sedangkan pada tumpuan hanya terjadi retak minor yang tidak lebar. Apabila sudah terjadi retak lentur maka kontribusi kekuatan tarik beton sudah dapat dikatakan tidak ada lagi. Ini berarti pula kekakuan lentur penampangnya telah berkurang sehingga kurva beban defleksi di daerah ini akan semakin landai dibanding pada taraf praretak. Momen inersia retak disebut  $I_{cr}$ .

**Daerah III:** Taraf retak pasca-*serviceability*, dimana tegangan pada tulangan tarik sudah mencapai tegangan lelehnya. Diagram beban defleksi daerah III jauh lebih datar dibanding daerah sebelumnya. Ini diakibatkan oleh hilangnya kekuatan penampang karena retak yang cukup banyak dan lebar sepanjang bentang. Jika beban terus ditambah, maka regangan  $\epsilon_s$  pada tulangan sisi yang tertarik akan terus bertambah melebihi regangan lelehnya  $\epsilon_y$  tanpa adanya tegangan tambahan. Balok yang tulangan tariknya telah leleh dikatakan telah runtuh secara struktural. Balok ini akan terus mengalami defleksi tanpa adanya penambahan

beban dan retaknya semakin terbuka sehingga garis netral terus mendekati tepi yang tertekan. Pada akhirnya terjadi keruntuhan tekan sekunder yang mengakibatkan kehancuran total pada beton daerah momen maksimum dan segera diikuti terjadinya *rupture*.



**Gambar 8.** Hubungan Antara Beban Dan Lendutan (Nawy, 2003)

### G. Metode Perbaikan dan Perkuatan

Perkuatan struktur biasanya dilakukan sebagai upaya pencegahan sebelum struktur mengalami kerusakan/kehancuran. Perkuatan struktur diperlukan apabila terjadi kerusakan yang menyebabkan degradasi yang berakibat tidak terpenuhi lagi persyaratan-persyaratan yang bersifat teknik yaitu kekuatan, kekakuan dan daktilitas, kestabilan, serta ketahanan terhadap kinerja tertentu (Triwiyono, 1998).

Pemilihan material dan penentuan metode perbaikan dan perkuatan didasarkan pada jenis kerusakan yang terjadi, besar dan luasnya kerusakan, faktor lingkungan, ketersediaan peralatan, waktu pelaksanaan, dan biaya yang dibutuhkan. Berikut merupakan beberapa

metode perbaikan dalam menangani kerusakan yang umum terjadi pada beton :

1. Injeksi Perbaikan injeksi dilakukan pada kerusakan akibat retak, dimana retak dibedakan menjadi dua yaitu retak struktur dan non-struktur. Untuk retak non-struktur digunakan metode injeksi dengan material pasta semen yang dicampur dengan *expanding agent* atau hanya melakukan sealing dengan material mortar polymer. Sedangkan untuk retak struktur digunakan metode injeksi dengan material *epoxy* yang memiliki viskositas rendah sehingga dapat mengisi sekaligus melekatkan kembali bagian beton yang terpisah.
2. Grouting Perbaikan grouting adalah metode perbaikan dengan melakukan pengecoran memakai bahan *non-shrink* mortar. Metode ini dapat dilakukan secara manual atau menggunakan pompa dengan persyaratan material harus memiliki sifat mengalir dan tidak susut.
3. Perbaikan *shotcrete* adalah menembakkan mortar dengan tekanan pada lubang atau permukaan beton yang memerlukan perbaikan. Metode ini dilakukan dengan memompa material yang telah dicampur melalui pipa kemudian mortar yang masih kering ditembak/dipompa dan akan tercampur dengan air di ujung saluran.



**Gambar 9.** Konsep Perbaikan Dan Perkuatan Struktur

Beberapa metode perkuatan yang umum dilakukan dapat dijelaskan sebagai berikut:

1. *Concrete Jacketing* adalah suatu metode perkuatan dengan cara menyelimuti beton yang telah ada dengan beton tambahan. Dalam melakukan perkuatan dengan *concrete jacketing* biasanya digunakan bahan *micro-concrete* yang memiliki sifat dapat memadat tanpa bantuan vibrator (*self compaction*). Teknik perkuatan ini digunakan pada kolom dengan tujuan untuk memperbesar penampang kolom sehingga kekuatan geser beton menjadi meningkat.
2. *Steel Jacketing* adalah metode perkuatan kolom persegi beton bertulang. *Steel jacketing* terdiri dari empat sudut baja longitudinal yang ditempatkan di setiap sudut kolom. Sudut longitudinal ini

terhubung bersama menjadi sebuah kerangka yang dihubungkan dengan *strap* baja *transversal*.

3. *Fiber Reinforced Polymer* Perkuatan pada balok dilakukan dengan menggunakan *fiber carbon*. Metode perkuatan menggunakan FRP dilakukan dengan cara menempelkan pada permukaan beton dengan menggunakan perekat *epoxy*. FRP merupakan bahan yang ringan, kuat, dan tahan terhadap korosi.

Pemilihan metode perkuatan dipengaruhi oleh beberapa pertimbangan, antara lain:

1. Efektifitas perkuatan.
2. Kemudahan pelaksanaan perkuatan .
3. Biaya, dalam hal ini terkait dengan pemilihan bahan agar diperoleh hasil perkuatan yang kekuatannya sesuai dengan yang diinginkan dan dapat tahan lama.

#### **H. Mortar Grouting**

Berdasarkan SNI 03-6825-2002 mortar didefinisikan sebagai campuran material yang terdiri dari agregat halus (pasir), bahan perekat (tanah liat, kapur, semen Portland) dan air dengan komposisi tertentu. Mortar memiliki nilai penyusutan yang relative kecil. Mortar harus tahan terhadap penyerapan air serta kekuatan geser yang dapat memikul gaya-

gaya yang bekerja pada mortar tersebut. Jika penyerapan air pada mortar terlalu besar maka mortar akan mengeras dengan cepat dan kehilangan adhesinya.

Mortar grouting adalah bahan pengisi yang digunakan untuk perbaikan suatu komponen struktur. Sika Grout 215 merupakan salah satu produsen bahan bangunan dan produk kimia yang sering digunakan dalam suatu proyek konstruksi. Dalam pengerjaan grouting tentunya dibutuhkan semen grouting yang siap pakai dan mempunyai karakteristik tidak susut, dapat mengalir dengan baik serta memenuhi persyaratan standar *corps of engineering* CDR C-621 dan ASTM C-1107 yang keseluruhannya terdapat pada Sika Grout 215. Sika Grout 215 berfungsi sebagai komponen semen grouting untuk memperbaiki beton yang keropos dan juga untuk pengisi celah dan rongga, serta dapat diaplikasikan pada stuktur bangunan.

### **I. Fiber Reinforced Polymer (FRP)**

FRP adalah material yang terbuat dari *fiber* (serat) material sintetis seperti *glass*, *aramid* atau *carbon* yang disatukan oleh zat matrik, seperti *epoxy* atau *polyester*. Pengembangan penggunaan FRP pada rekayasa sipil terdiri dari dua bagian, pertama untuk rehabilitasi dan perbaikan struktur dan kedua untuk pembuatan konstruksi baru yang sepenuhnya menggunakan FRP ataupun komposit dengan beton. Penggunaan

FRP dalam perkuatan struktur antara lain pada balok, pelat, jembatan, kolom.

Bahan komposit FRP terdiri dari serat kontinu berkekuatan tinggi, seperti kaca, karbon, atau kabel baja, yang tertanam dalam matriks polimer. Serat menyediakan elemen penguat utama sementara matriks polimer (resin epoksi) bertindak sebagai pengikat, melindungi serat, dan mentransfer beban ke dan di antara serat. Terdapat beberapa jenis material pembentuk FRP seperti karbon, kaca, kevlar dan material alami lainnya seperti goni. Produk FRP yang terbuat dari kaca lebih dikenal dengan *Glass Fiber Reinforced Polymer (GFRP)*.

Perbandingan antara kekuatan beton dan serat merupakan faktor yang sangat menentukan dalam memberikan karakteristik mekanis produk yang dihasilkan. Persyaratan fungsional yang dimiliki oleh serat sebagai penguat antara lain:

1. Modulus elastisitas yang tinggi untuk memberikan kekuatan pada komposit
2. Kekuatan patah yang tinggi
3. Mempunyai kekuatan yang seragam di antara serat
4. Mempunyai tingkat kestabilan yang tinggi saat penanganan

Menurut Rocca et al., (2009), beberapa mode kegagalan yang sering terjadi pada struktur yang menggunakan FRP yaitu:

1. Rusaknya FRP setelah tulangan tarik meleleh (*rupture failure of FRP*)

2. Lepasnya ikatan antara FRP dan beton (*debonding failure*)

3. Kegagalan tekan beton

*Glass Fiber Reinforced Polymer* (GRFP) merupakan salah satu jenis FRP. GRFP serat polimer yang terbuat dari matriks plastik diperkuat oleh serat halus dari kaca (Esmaeeli et al., 2017). Material GFRP yang sangat laku dipasaran adalah dalam bentuk lembaran, dimana keuntungan yang diperoleh dari GFRP tipe lembaran adalah kemudahan dalam aplikasi yaitu lembaran GFRP ini dapat ditempelkan dengan mudah pada bagian permukaan anggota struktur yang rusak dengan bantuan perekat (resin) Karena itu jumlah dan arah dari serat akan berpengaruh terhadap kuat tarik GFRP. Semakin cermat penataannya makin banyak serat yang dapat dimasukkan sehingga semakin besar pula kuat tariknya., biaya yang relatif murah dibandingkan FRP dengan bahan yang lain, kekuatan tarik yang tinggi, ketahanan yang tinggi terhadap kimia, memiliki sifat isolasi yang baik (Wu et al., 2005).

Ada beberapa keuntungan penggunaan FRP sebagai perkuatan struktur, antara lain:

1. Kuat tarik sangat tinggi ( $\pm$  7-10 kali lebih tinggi dari U39)
2. Sangat ringan (*density* 1.4-2.6 gr/cm<sup>3</sup>, 4-6 kali lebih ringan dari baja)
3. Pelaksanaan sangat mudah dan cepat
4. Memungkinkan untuk tidak menutup lalu lintas

5. Tidak memerlukan area kerja yang luas
6. Tidak memerlukan *joint*, meskipun bentang yang harus diperkuat cukup panjang
7. Tidak berkarat (non logam)

Pada penelitian ini GFRP yang digunakan adalah *type* SEH51A. Adapun spesifikasi karakteristik material GFRP-S dapat dilihat pada Tabel berikut ini:

**Tabel 1.** Spesifikasi GFRP Tyfo SEH-51A

SIFAT MATERIAL GFRP			
KEADAAN LEPAS		KEADAAN KOMPOSIT	
SIFAT MATERIAL	NILAI TEST	SIFAT MATERIAL	NILAI TEST
Tegangan Tarik	3, 24 Gpa	Tegangan Tarik ultimate	575 Mpa
Modulus Tarik	72,4 Gpa	Modulus Tarik	26,1Gpa
Regangan maks	4,50%	Regangan	2,20%
Kerapatan	2,55 g/cm <sup>2</sup>		
Berat per luasan	915 g/m <sup>2</sup>		
Tebal Fiber	0,36 mm	Tebal Komposit	1,3 mm

(Sumber: Fyfe.Co LLC)

Tabel 1. menunjukkan data karakteristik material GFRP dalam keadaan lepas atau dalam kondisi kering. Serat-serat inilah yang digunakan dalam membentuk lembaran GFRP dengan ketebalan tertentu,

dan menunjukkan spesifikasi lembaran komposit GFRP tipe SEH-51A. Tebal lembaran GFRP yang digunakan yaitu 1,3 mm. GFRP memiliki nilai kuat tarik ultimit yang berbeda berdasarkan arah serat di mana pada arah utama serat, nilai kuat tarik GFRP sebesar 460 MPa sedangkan pada arah tegak lurus arah utama serat ( $90^{\circ}$  terhadap arah utama serat), nilai kuat tariknya hanya sebesar 20,7 MPa.

Dalam penggunaannya, GFRP digabungkan dengan suatu bahan perekat (*Epoxy Resin*) yang akan merekatkan lembaran fiber pada beton. Bahan perekat yang akan digunakan pada penelitian ini berupa *Epoxy* dengan nama Tyfo SEH52 yang merupakan produk dari Fyfe. Co terdiri dari 2 (dua) komponen yaitu komponen A (resin) dan komponen B (hardener). Perbandingan campuran antara bagian A: bagian B = 2:1.



Tyfo SHE-51A      Tyfo S Component A      Tyfo S Component B

**Gambar 10.** GFRP-S Tyfo SEH-51A Dan *Epoxy Resin* Tyfo S

**Tabel 2.** Karakteristik Material Resin Epoxi

<b>Properti Material Epoxi</b>		
<b>Waktu pengeringan : 72 jam ( Suhu 60 °C )</b>		
<b>Properti</b>	<b>Metode ASTM</b>	<b>Nilai Test</b>
Kekuatan Tarik	ASTMD-638	72.4 Mpa
Modulus Tarik	-	3.18 Gpa
Persen Regangan	ASTMD-638	5%
Kekuatan Lentur	ASTM D-790	123.4 Mpa
Modulus Lentur	ASTM D-790	3.12 Gpa

*Sumber : Fyfo.Co LLC*

#### **J. Kapasitas Lentur Balok Beton Bertulang dengan Perkuatan FRP**

Seperti yang telah diuraikan sebelumnya bahwa kondisi beton bertulang sebelum beton retak (praretak) maka tulangan dan beton bekerja bersama-sama pada daerah tarik. Dengan demikian maka untuk menentukan nilai lendutan yang terjadi tentunya juga menggunakan nilai momen inersia penampang utuh dengan asumsi bahwa beton belum mengalami keretakan sehingga momen inersia penampang masih utuh sepenuhnya. Rumus perhitungan momen inersia penampang utuh dapat dilihat pada Persamaan (2.1).

$$I_g = \frac{1}{12}bh^3 \dots\dots\dots (2.1)$$

Setelah beton mengalami retak maka beton akan memasuki daerah pascaretak di mana kondisi ini dimulai dengan munculnya retak pertama. Apabila telah terjadi retak lentur maka kontribusi kekuatan tarik beton dapat dikatakan sudah tidak ada lagi. Hal ini berarti pula bahwa kekakuan

lentur penampangnya telah berkurang sehingga kurva hubungan beban-defleksi akan semakin landai dibandingkan dengan taraf praretak. Pada tahap ini digunakan nilai momen inersia penampang retak  $I_{cr}$ . Nilai  $I_{cr}$  ini dapat dihitung menggunakan Persamaan (2.2)

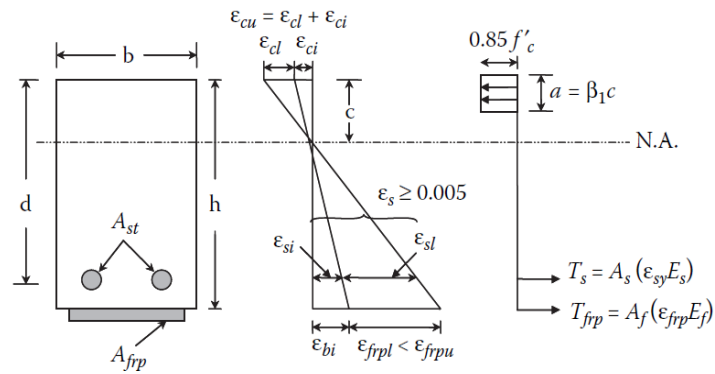
$$I_{cr} = \frac{1}{3}bc^3 + \frac{E_s}{E_c}A_s(d - c)^2 \dots\dots\dots (2.2)$$

$$I_{cr} = \frac{1}{3}bc^3 + \frac{E_s}{E_c}A_s(d - c)^2 + \frac{E_f}{E_c}A_f(h - c)^2 \dots\dots\dots (2.3)$$

Bila dalam perhitungan balok beton menggunakan FRP maka Persamaan (2.2) dapat diperluas menjadi Persamaan (2.3) dengan memperhitungkan pengaruh kontribusi FRP.

Pedoman perencanaan untuk FRP dapat mengacu pada standard ACI yaitu “*ACI 440.2R-08, Guide for the Design and Construction of Externally Bonded FRP System for Strengthening Concrete Structures*”.

Untuk perkuatan lentur dengan FRP, perhitungan desain mengacu pada ACI *committee* 440.2R-08 . Dalam mendesain balok dengan perkuatan FRP, digunakan nilai regangan di bawah dari regangan putus FRP, hal ini dimaksudkan agar nantinya tipe kegagalan yang terjadi pada balok adalah kegagalan *debonding*. Perhitungan tersebut disajikan pada Gambar 11 dan dalam rumus-rumus berikut.



**Gambar 11.** Regangan Untuk Metode ACI 440-2R-08

Dalam mendesain kekuatan lentur diperlukan faktor reduksi terhadap momen yang terjadi.

$$\phi M_n \geq M_u \dots \dots \dots (2.4)$$

dimana :

- $\phi$  = faktor reduksi
- $M_n$  = momen nominal (Nmm)
- $M_u$  = momen ultimit (Nmm)

Untuk melindungi kemampuan lekatan FRP diberikan persamaan untuk menghitung koefisien lekatan yaitu :

$$k_m = \frac{1}{60 \epsilon_{fu}} \left( 1 - \frac{n E_f t_f}{360.000} \right) \leq 0,90 \text{ untuk } n E_f t_f \leq 180.000 \dots \dots \dots (2.5)$$

dimana :

- $k_m$  = koefisien lekatan FRP
- $\epsilon_{fu}$  = regangan ultimit FRP
- $n$  = jumlah lapis FRP

$E_f$  = elastisitas FRP (Mpa)

$t_f$  = tebal FRP (mm)

Dengan memberikan asumsi bahwa nilai regangan maksimum pada beton sebesar 0,003, maka regangan yang terjadi pada FRP dapat dihitung dengan Persamaan (2.6).

$$\varepsilon_{fe} = \varepsilon_{cu} \left( \frac{h-c}{c} \right) - \varepsilon_{bi} \leq k_m \varepsilon_{fu} \dots \dots \dots (2.6)$$

dimana :

$\varepsilon_{fe}$  = regangan yang terjadi pada FRP

$\varepsilon_{fu}$  = regangan ultimit beton

$h$  = tinggi balok

$c$  = tinggi blok tegangan ekivalen

$\varepsilon_{bi}$  = regangan beton

Setelah mendapatkan nilai regangan pada FRP, Nilai tegangan pada FRP dapat dihitung dengan Persamaan (2.7).

$$f_{fe} = E_f \varepsilon_{fe} \dots \dots \dots (2.7)$$

dimana :

$f_{fe}$  = tegangan yang terjadi pada FRP

Dengan menggunakan Persamaan (2.7) dan (2.8) nilai regangan dan nilai tegangan pada tulangan dapat dihitung. Setelah diketahui nilai regangan dan tegangan pada tulangan dan FRP, posisi garis netral dapat

dicek berdasarkan gaya dalam yang terjadi dengan menggunakan Persamaan (2.8).

$$\epsilon_s = \epsilon_{fe} + \epsilon_{bi} \left( \frac{d-c}{h-c} \right) \dots\dots\dots(2.8)$$

$$f_s = E_s \epsilon_s \leq f_y \dots\dots\dots(2.9)$$

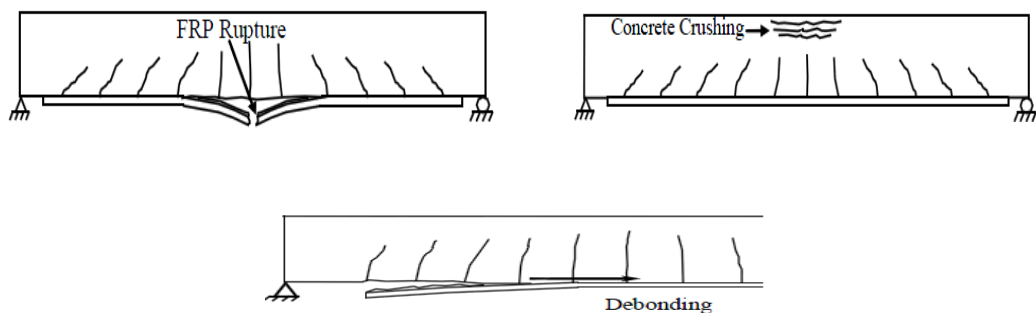
$$c = \frac{A_s f_s + A_f f_{fe}}{\gamma f_c \beta_1 b} \dots\dots\dots(2.10)$$

Kapasitas momen nominal perkuatan lentur dengan menggunakan FRP dapat dihitung dengan Persamaan (2.11). Untuk perkuatan lentur *ACI committee 440* merekomendasikan nilai faktor reduksi untuk FRP ( $\psi_f$ ) sebesar 0,85.

$$M_n = A_s f_s \left( d - \frac{\beta_1 c}{2} \right) + \psi_f A_f f_{fe} \left( h - \frac{\beta_1 c}{2} \right) \dots\dots\dots(2.11)$$

**K. Mode Kegagalan pada Balok dengan Perkuatan GFRP**

Model kegagalan yang terjadi pada balok beton yang diperkuat dengan FRP secara umum dapat dibedakan atas tiga yaitu rusak atau putusya FRP (*FRP rupture*), hancurnya beton pada sisi tekan (*concrete crushing*) dan lepasnya ikatan antara beton dengan FRP (*debonding*).



**Gambar 12.** Putusnya FRP Dan Hancurnya Beton Pada Sisi Tekan

Model kegagalan secara berurutan ditunjukkan pada Gambar 12. yakni berupa putusnya lapisan FRP yang terjadi setelah melelehnya tulangan dan hancurnya beton pada sisi tekan. Hancurnya beton pada sisi tekan terjadi sebelum tulangan tarik meleleh sehingga kondisi ini identik dengan kondisi *over-reinforced*. Selain itu, terdapat pula kondisi di mana tulangan tarik telah meleleh namun disertai dengan hancurnya beton pada sisi tekan tanpa disertai putusnya FRP.

*Debonding* atau lepasnya ikatan antara FRP dengan beton ini merupakan masalah yang kritis dan sangat penting dari penggunaan material FRP dalam hal perbaikan dan perkuatan struktur. Bidang rekatan, dalam hal ini merupakan bidang antara FRP dengan beton, biasanya merupakan bagian terlemah di mana *debonding* paling sering terjadi.

Hal ini disebabkan karena adanya konsentrasi tegangan yang tinggi pada daerah tersebut saat terjadi transfer gaya dari beton ke FRP. Daerah – daerah kritis terjadinya *debonding* terletak pada ujung lapisan FRP dan juga area sekitar adanya retak geser maupun lentur.